

МИНОБРНАУКИ РОССИИ  
ФЕДЕРАЛЬНОЕ ГОСУДАРСТВЕННОЕ БЮДЖЕТНОЕ УЧРЕЖДЕНИЕ НАУКИ  
ИНСТИТУТ ОБЩЕЙ И НЕОРГАНИЧЕСКОЙ ХИМИИ ИМ. Н.С. КУРНАКОВА  
РОССИЙСКОЙ АКАДЕМИИ НАУК  
(ИОНХ РАН)

## НАУЧНЫЙ ДОКЛАД

### об основных результатах подготовленной научно-квалификационной работы (диссертации)

**Тема:** Высокодисперсные нанокомпозиты на основе ZnO, модифицированные  
наночастицами LnO<sub>x</sub> (Ln=Ce, Pr, Eu), Pt, Pd и максена Ti<sub>2</sub>CT<sub>x</sub>, для  
хеморезистивных газовых сенсоров

**Направление подготовки:** 04.06.01 Химические науки

**Направленность (профиль):** 02.00.01 Неорганическая химия

**Форма обучения:** Очная

Аспирант \_\_\_\_\_ /Нагорнов Илья Алексеевич

Научный руководитель \_\_\_\_\_ /Симоненко Елизавета Петровна, д.х.н.

Зав.НОЦ-зав.аспирантурой \_\_\_\_\_ /Терехова Анна Николаевна

Москва  
2025 г.

## **ОБЩАЯ ХАРАКТЕРИСТИКА РАБОТЫ**

### **Актуальность темы**

Во многих областях науки и техники, в первую очередь, при мониторинге загрязнений окружающей среды или контроле промышленных процессов, остро встает проблема качественного и быстрого определения содержания в атмосфере некоторых газообразных анализаторов (особенно, токсичных и взрывоопасных) с использованием компактных, недорогих и простых в эксплуатации устройств. Многие летучие соединения постоянно присутствуют в атмосфере промышленно развитых территорий, содержатся в выбросах автотранспорта и предприятий промышленности и др. Превышение ПДК токсичных газов отрицательно сказывается, в первую очередь, на состояние метаболических систем живых организмов. С проблемой экспресс-детектирования некоторых газов связана и наблюдающаяся в последнее время отчетливая тенденция развития и внедрения методов неинвазивной диагностики заболеваний. Так, по составу выдыхаемого человеком воздуха в совокупности с другими методами лабораторных исследований может быть произведена первичная диагностика некоторых заболеваний в скрининг-режиме.

Для быстрого и недорогого детектирования газов в воздушной атмосфере применяются хеморезистивные газовые сенсоры на основе полупроводниковых оксидов металлов, в частности, нанокристаллического оксида цинка, который обладает высокой чувствительностью к летучим органическим соединениям,  $\text{NO}_2$ ,  $\text{CO}$  и другим газам, но страдает от низкой селективности и чувствительности к изменению влажности газовой смеси. Для улучшения его хемосенсорных характеристик рассматриваются несколько основных подходов, среди которых стоит выделить изменение морфологии наночастиц  $\text{ZnO}$  путем варьирования условий синтеза и создание нанокомпозитов на основе  $\text{ZnO}$  с модификаторами различной химической природы (например, оксидами металлов, наночастицами благородных металлов).

Кроме того, реальные задачи газовой сенсорики требуют определения конкретных газов в присутствии других аналитов, к которым базовый оксид металла также чувствителен. Решением является мультисенсорная схема измерения в сочетании с современной математической обработкой сигнала, что требует создания линейки рецепторных материалов с различными сенсорными свойствами.

Таким образом, получение наноматериалов на основе оксида цинка, исследование закономерностей, связывающих синтетические параметры и сенсорные характеристики, является важной и актуальной задачей, решение которой обеспечит контроль за экологической обстановкой и улучшение качества жизни людей.

**Целью** настоящей работы является установление влияния условий синтеза на микроструктуру и хеморезистивные свойства нанопорошков оксида цинка, а также выявление их селективности и чувствительности по отношению к практически важным газам-аналитам при модификации ZnO компонентами различной химической природы.

Для достижения данной цели решены следующие **задачи**:

1. Разработка методик синтеза ZnO путем деструкции аква-бис-(2,4-пентандионато)цинка  $[Zn(H_2O)(C_5H_7O_2)_2]$  (далее ацетилацетонат цинка) в спиртовых растворителях – *н*-бутанол, изоамиловый спирт, этиленгликоль без добавления дополнительного гидролизующего компонента, изучение влияния температуры и длительности термической обработки на состав и микроструктуру получаемых образцов с помощью комплекса современных физико-химических методов анализа.

2. Получение и исследование нанокомпозитов на основе оксида цинка, модифицированного наночастицами оксидов церия, празеодима, европия, платины, палладия и многослойного максена  $Ti_2CT_x$  с содержанием от 0.5 до 3 % мол.

3. Формирование рецепторных слоев высокодисперсного оксида цинка и нанокомпозитов на их основе на специализированных подложках методами

dip-coating, трафаретной печати и пневматической микроэкструзионной печати.

4. Комплексное изучение сенсорных свойств наноматериалов состава ZnO, ZnO-LnO<sub>x</sub> (Ln = Ce, Pr, Eu), ZnO-Pt, ZnO-Pd и ZnO-Ti<sub>2</sub>CT<sub>x</sub> (с содержанием модифицирующего компонента от 0.5 до 3 % мол.) по отношению к практически значимым неорганическим и органическим газам-аналитам.

### **Научная новизна**

Научная новизна настоящего исследования заключается в выявлении особенностей синтеза слабоагрегированных нанокристаллических материалов на основе оксида цинка, полученного из [Zn(H<sub>2</sub>O)(C<sub>5</sub>H<sub>7</sub>O<sub>2</sub>)<sub>2</sub>] в качестве прекурсора без добавления дополнительного гидролизующего агента, а также получения нанокомпозитов ZnO с наночастицами оксидов церия, празеодима, европия, платины, палладия и максена Ti<sub>2</sub>CT<sub>x</sub>, и в установлении эффекта указанных наноматериалов на их хеморезистивные свойства:

1. Впервые разработана методика получения нанокомпозита ZnO-Ti<sub>2</sub>CT<sub>x</sub>, содержащего 1-5 % мол. многослойного максена Ti<sub>2</sub>CT<sub>x</sub>, комплексно изучены его хемосенсорные свойства на широкий круг анализаторов (NO<sub>2</sub>, CO, NH<sub>3</sub>, H<sub>2</sub>, CH<sub>4</sub>, C<sub>6</sub>H<sub>6</sub>, C<sub>2</sub>H<sub>5</sub>OH, C<sub>3</sub>H<sub>6</sub>O) при рабочей температуре 200 °C.

2. Изучено влияние растворителя из класса спиртов (*n*-бутанол, изоамиловый спирт, этиленгликоль) и температуры термообработки раствора ацетилацетоната цинка на микроструктуру и сенсорные свойства полученного высокодисперсного ZnO. Установлено, что в одноатомных спиртах (*n*-бутаноле и изоамиловом спирте), образующаяся микроструктура сходна (стержневидная форма), однако существенно отличается от таковой для продуктов, полученных при термической обработке в этиленгликоле (агрегаты наночастиц в виде сфер или эллиптических параболоидов). Для всех полученных образцов ZnO можно констатировать повышенную

чувствительность по отношению к  $\text{NO}_2$  (при рабочих температурах 125-200 °C) и CO (при 200-275 °C).

3. В результате комплексного исследования хемосенсорных откликов полученных нанокомпозитов  $\text{ZnO-LnO}_x$  ( $\text{Ln} = \text{Ce, Pr, Eu}$ ),  $\text{ZnO-Pt}$ ,  $\text{ZnO-Pd}$  и  $\text{ZnO-Ti}_2\text{CT}_x$  на различные газы-аналиты установлены зависимости, связывающие их с химическим и фазовым составом, микроструктурой рецепторных материалов; для наиболее перспективных анализаторов установлены их температурные и концентрационные закономерности.

### **Теоретическая и практическая значимость работы**

Теоретическая значимость выполненных исследований заключается в установлении закономерностей «состав-строение-свойства» для рецепторных наноматериалов на основе ZnO, ориентируясь на требования повышенной чувствительности к некоторым газообразным анализаторам, селективности и стабильности работы сенсорного элемента.

Практическая значимость работы обусловлена потребностью в детектировании содержания в атмосфере некоторых газообразных примесей, эффективность же данного процесса значительно определяется свойствами рецепторных материалов, используемых в сенсорных устройствах. Полученные вещества и разработанные высокотехнологичные подходы к нанесению покрытий могут послужить основой для создания хеморезистивных газовых сенсоров с повышенной чувствительностью (прежде всего, по отношению к  $\text{NO}_2$ , ацетону и этанолу) и селективностью, а том числе в составе мультисенсорных датчиков.

### **Методология и методы исследования**

Высокодисперсные порошки оксида цинка получались в результате термической обработки растворов ацетилацетоната цинка в спиртах (*n*-бутанол, изоамиловый спирт, этиленгликоль). Получение нанокомпозитов  $\text{ZnO-LnO}_x$  ( $\text{Ln} = \text{Ce, Pr, Eu}$ ) проводили в результате термообработки растворов ацетилацетонатов соответствующих металлов в *n*-бутаноле. Для

декорирования ZnO наночастицами платины и палладия в присутствии диспергированного порошка ZnO осуществляли термообработку растворов  $H_2[PtCl_6]$  или  $PdCl_2$  в среде этиленгликоля. Композиты ZnO-Ti<sub>2</sub>CT<sub>x</sub> получали в результате синтеза ZnO из *n*-бутанола в присутствии диспергированного многослойного максена Ti<sub>2</sub>CT<sub>x</sub>. Рецепторные слои на подложки наносились с применением методик dip-coating, трафаретной печати и пневматической микроэкструзионной печати. Анализ процессов деструкции [Zn(H<sub>2</sub>O)(C<sub>5</sub>H<sub>7</sub>O<sub>2</sub>)<sub>2</sub>] в различных спиртах выполняли методами колебательной и электронной спектроскопии. Фазовый состав порошков и покрытий определяли методами рентгенофазового анализа (РФА), КР-спектроскопии, микроструктуру – с помощью растровой электронной (РЭМ), просвечивающей электронной (ПЭМ) и атомно-силовой микроскопии (АСМ), локальные электрофизические свойства – Кельвин-зондовой силовой микроскопии (КЗСМ) и сканирующей емкостной микроскопии (СЕМ). Химическое состояние поверхности изучали с применением метода рентгеновской фотоэлектронной спектроскопии (РФЭС). При исследовании термического поведения порошков и трансформации их кристаллической структуры в результате термообработки использовали синхронный (ТГА/ДСК) термический анализ. Хемосенсорные свойства при детектировании различных анализов изучали с использованием специализированной установки и газовой ячейки.

**Основные положения, выносимые на защиту:**

1. Воспроизводимые методики синтеза индивидуального ZnO в результате термической обработки раствора [Zn(H<sub>2</sub>O)(C<sub>5</sub>H<sub>7</sub>O<sub>2</sub>)<sub>2</sub>] в спиртах (*n*-бутанол, изоамиловый спирт, этиленгликоль) без добавления дополнительного гидролизующего агента, а также нанокомпозитов ZnO-LnO<sub>x</sub> (Ln = Ce, Pr, Eu), ZnO-Pt, ZnO-Pd и ZnO-Ti<sub>2</sub>CT<sub>x</sub> с содержанием модифицирующего компонента от 0.5 до 3 % мол.

2. Совокупность данных по установлению влияния условий получения ZnO (природы использованного спирта, температуры и длительности

термической обработки) на его фазовый состав, микроструктуру, дисперсность и термическое поведение.

3. Результаты комплексного изучения чувствительности рецепторных слоев полученных индивидуального ZnO и нанокомпозитов ZnO-LnO<sub>x</sub> (Ln = Ce, Pr, Eu), ZnO-Pt, ZnO-Pd и ZnO-Ti<sub>2</sub>CT<sub>x</sub> по отношению к широкому кругу газов-аналитов (NO<sub>2</sub>, H<sub>2</sub>, CH<sub>4</sub>, CO, NH<sub>3</sub>, бензол, ацетон, этанол), селективности и чувствительности к влажности; сведения о зависимости величины откликов от температуры детектирования и концентрации анализаторов.

### **Личный вклад автора**

Личный вклад диссертанта состоял в выполнении всего объема синтетической экспериментальной работы: проведение синтеза, выделение и очистка полученных веществ, поиск оптимальных методик синтеза, пробоподготовка образцов для их исследования физико-химическими методами, приготовление функциональных чернил для нанесения слоев. Им выполнен литературный обзор, посвященный теме исследования. Автор принимал участие в разработке задач и плана работы, интерпретации и анализе полученных данных, формулировании выводов.

### **Степень достоверности**

Достоверность полученных результатов обеспечивается применением комплекса современных методов исследования, согласованностью полученных данных между собой и с известными данными других исследователей. Сформулированные выводы и результаты научно обоснованы и соответствуют современным научным химическим представлениям.

### **Апробация результатов**

Основные выводы были представлены на следующих конференциях: XII–XV Конференции молодых ученых по общей и неорганической химии (Москва, 2022–2025 гг.), X Всероссийская конференция «Керамика и композиционные материалы» (Сыктывкар, 2021 г.) Седьмая международная конференция стран СНГ «Золь-гель синтез и исследование неорганических

соединений, гибридных функциональных материалов и дисперсных систем «Золь-гель 2023» (Москва, 2023 г.).

### **Публикации по теме исследования**

По теме диссертации опубликованы 10 статей в российских и зарубежных рецензируемых изданиях, входящих в перечень ВАК и международные базы данных Web of Science и Scopus, и 6 тезисов докладов на отечественных и международных научных конференциях.

### **Объем и структура диссертации**

Диссертационная работа состоит из введения, трех глав, выводов и списка цитируемой литературы из 197 наименований. Работа изложена на 202 страницах и содержит 88 рисунков, 20 таблиц.

### **Соответствие специальности 1.4.1 – Неорганическая химия.**

Диссертационная работа соответствует пп. 1, 4, 5 паспорта специальности 1.4.1 – Неорганическая химия (химические науки): 1) Фундаментальные основы получения объектов исследования неорганической химии и материалов на их основе; 4) Реакционная способность неорганических соединений в различных агрегатных состояниях и экстремальных условиях; 5) Взаимосвязь между составом, строением и свойствами неорганических соединений. Неорганические наноструктурированные материалы.

## **СОДЕРЖАНИЕ РАБОТЫ**

Во **введении** кратко обоснована актуальность проведенного исследования, обозначены его цели, научная новизна и практическая значимость полученных результатов, а также сформулированы выносимые на защиту положения.

В **главе 2** проведен анализ литературы по теме диссертации. Кратко рассмотрены строение и свойства оксида цинка. Описаны методы синтеза нанокристаллического ZnO с использованием  $[Zn(H_2O)(C_5H_7O_2)_2]$ , который использован в настоящей работе в качестве прекурсора. Рассмотрены

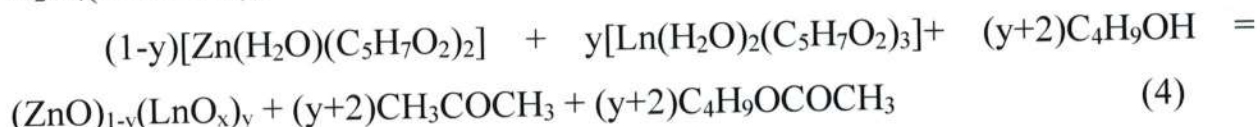
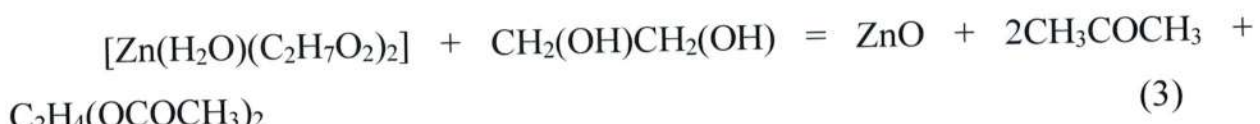
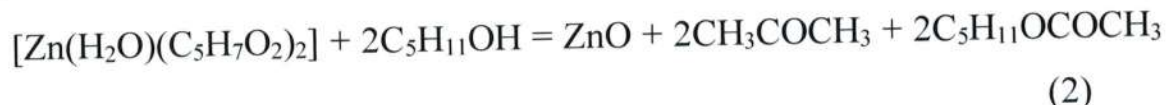
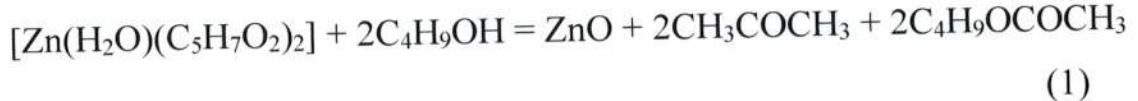
основные принципы формирования сенсорного отклика при детектировании различных газов-аналитов полупроводниковыми оксидами металлов *n*-типа. Подробно обсуждены свойства рецепторных материалов на основе индивидуального ZnO и модифицированного различными компонентами (наночастицами оксидов металлов, благородных металлов и максенов).

В научной литературе присутствует достаточное количество работ по изучению сенсорных свойств различных рецепторных наноматериалов на основе оксида цинка, в которых показана эффективность создания дефектов структуры путем изменения морфологии (варьируя методы синтеза) и модификации полупроводниковыми оксидами (содержащими катионы с большими радиусами и переменными степенями окисления), максенами и наночастицами благородных металлов. При этом, в открытой печати не найдено информации о получении высокодисперсного ZnO путем сольватермального синтеза при атмосферном давлении в растворах спиртов (*n*-бутанол, изоамиловый спирт, этиленгликоль) с применением в качестве прекурсора  $[Zn(H_2O)(C_5H_7O_2)_2]$  без добавления гидролизующего агента. С целью реализации основанной на фундаментальных знаниях преимуществ газочувствительных материалов на основе полупроводниковых оксидов важно получить подробные и корректные взаимосвязи «синтез-структура-свойство», которые позволяют тонко настраивать сенсорные свойства. Однако на данный момент универсальный механизм выбора полупроводниковых оксидов и доноров к ним отсутствуют. Известно, что сенсорные характеристики сильно зависят от методов синтеза полупроводниковых оксидов металлов и нанокомпозитов на их основе, а также методов нанесения чувствительных слоев на датчики. Поэтому для оценки эффективности модификации различными компонентами представляется рациональным фиксация метода получения высокодисперсного оксида цинка, так как в литературе зачастую сравнение газочувствительности происходит для очень разных по микроструктуре и составу материалов на основе ZnO. Разнообразие же предложенных в диссертации модифицирующих компонентов связано с

необходимостью систематического расширения базы знаний, включающих взаимосвязи «синтез-структура-свойство», для формирования широкого набора газочувствительных материалов для последующего использования в мультисенсорной системе для экспресс-анализа сложных газовых сред.

В главе 3 приведен список реагентов, методики получения прекурсоров, синтеза нанопорошков ZnO и композитов на его основе, а также список оборудования, используемого для физико-химических методов анализа получаемых продуктов. Описаны способы нанесения газочувствительных слоев на основе ZnO и методики изучения их сенсорных свойств.

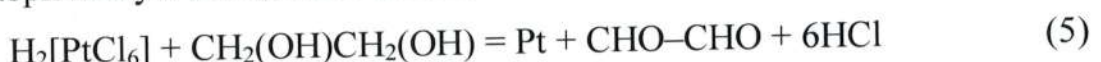
Синтез порошков состава ZnO и  $(\text{ZnO})_{1-x}(\text{LnOy})_x$  ( $\text{Ln} = \text{Ce}, \text{Pr}, \text{Eu}$ ,  $x = 0.01, 0.03, 0.05$ ) проводили путем термической обработки растворов прекурсоров, содержащих гидраты ацетилацетонатов цинка и редкоземельных металлов, в органических растворителях при различных температурах и времени. При этом происходит деструкция прекурсоров в соответствии с реакциями (1-4).



В качестве высококипящих растворителей для получения наночастиц оксида цинка применялись *n*-бутанол  $\text{C}_4\text{H}_9\text{OH}$  (ч.д.а., «ХИММЕД»), изоамиловый спирт  $\text{C}_5\text{H}_{11}\text{OH}$  (ч.д.а., «ХИММЕД»), и этиленгликоль  $(\text{CH}_2)_2(\text{OH})_2$  (ч.д.а., «ТК СПЕКТР-ХИМ»). Синтез образцов, модифицированных оксидами церия, празеодима и европия проводили в среде *n*-бутанола. Полученные осадки состава ZnO и  $(\text{ZnO})_{1-x}(\text{LnOy})_x$  ( $\text{Ln} = \text{Ce}, \text{Pr}, \text{Eu}$ ,  $x = 0.01, 0.03, 0.05$ ) центрифугированием отделяли от маточного раствора

(60–90 мин, 3500 об./мин) и трижды промывали этанолом для удаления органических фрагментов, сорбированных на поверхности нанопорошков. Далее образцы высушивали до постоянной массы при температуре 100–120°C и прокаливали на воздухе при температуре 350–400°C для удаления органических фрагментов, встроенных в структуру полученных нанопорошков. Выбор режима термообработки осуществлялся по данным синхронного ДТА/ДСК.

Декорирование полученного нанокристаллического оксида цинка наночастицами платины проводили с использованием раствора гексахлорплатината (IV) водорода ( $\text{H}_2[\text{PtCl}_6] \cdot 6\text{H}_2\text{O}$ , ч.д.а., «ТК АНТ») в этиленгликоле с концентрацией 0.015 моль/л по реакции (5) [1]. При интенсивном перемешивании и обработке в ультразвуковой ванне в платиносодержащий раствор добавляли навеску наноразмерного ZnO (синтезированного в этиленгликоле и *n*-бутаноле) для достижения необходимых мольных соотношений Zn:Pt и получения стабильной дисперсии. Далее полученная дисперсия подвергалась термической обработке в глицериновой бане при температуре 145°C в течение 6 ч. На первых минутах синтеза наблюдалось изменение окраски раствора с бледно-оранжевой на темно-коричневую вследствие восстановления платины этиленгликолем.



После завершения термообработки полученный осадок отделяли с помощью центрифugирования (60 мин, 3500 об./мин) и трижды промывали этанолом для удаления примесных органических фрагментов. Полученный порошок ZnO-*y*Pt (*y* = 0.5, 1, 3 % мол.) сушился на воздухе при температуре 100°C в течение 4 ч, а далее прокаливался при температуре 370°C в течение 1 ч на воздухе для удаления органических фрагментов, встроенных в структуру полученных порошков. Выбор режима термообработки осуществлялся по данным синхронного ДТА/ДСК.

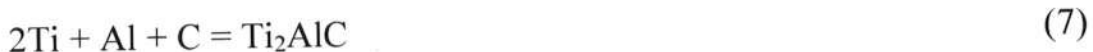
Для синтеза нанокомпозитов ZnO-*y*Pd (*y*=0.5, 1, 3 % мол.) использован ZnO, полученный путем термической деструкции гидрата ацетилацетоната

цинка  $[Zn(H_2O)(O_2C_5H_7)_2]$  в *n*-бутаноле. В качестве прекурсора наночастиц палладия использовали хлорид палладия (II)  $PdCl_2$  (х.ч.) (ООО «SilverSalt» Санкт-Петербург, Россия). К дисперсии оксида цинка в этиленгликоле добавляли рассчитанное количество хлорида палладия (II) и подвергали термической обработке при  $145^{\circ}C$  в течение 6 ч (реакция 6).



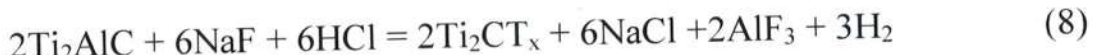
Полученные порошки нанокомпозитов  $ZnO-Pd$  отделяли от маточного раствора путем центрифugирования, многократно промывали дистиллированной водой и этанолом для удаления примесных фрагментов и сушили при температуре  $100^{\circ}C$  до постоянной массы. Затем полученные порошки прокаливались при  $400^{\circ}C$  в течение 2 ч в атмосфере воздуха. Выбор режима термообработки осуществлялся по данным синхронного ДТА/ДСК.

Для получения нанокомпозита  $ZnO-Ti_2CT_x$  на первой стадии проведено получение MAX-фазы  $Ti_2AlC$  по методу синтеза из элементов (реакция 7) в защитном расплаве солей. Для этого осуществлялось смешение порошков титана (99,9%, Москва, Россия, Русхим), алюминия (99,2%, Москва, Россия, Русхим) и углерода (марки MPG-8, Technocarb, Челябинск, Россия) в мольном соотношении 2:1.2:0.8. Масса добавленного в качестве солевого компонента порошка KBr (99,9%, Москва, Россия, Русхим) была равна общей массе порошков титана, алюминия и графита. Температура синтеза составляла  $1000^{\circ}C$ , а продолжительность составляла 5 ч. Аттестация полученного соединения произведена методами рентгенофазового анализа, растровой электронной спектроскопии с энергодисперсионным анализом.



С использованием полученного  $Ti_2AlC$  далее синтезирован многослойный максен  $Ti_2CT_x$  (где  $T_x$  – поверхностные функциональные группы, такие как  $-O$ ,  $-OH$ ,  $-F$ ,  $-Cl$  и др.) путем селективного травления слоев алюминия в 1.2 М растворе  $NaF$  (99,9%, Москва, Россия, Реахим) в соляной кислоте ( $\geq 99\%$ , Москва, Россия, Sigma Tech) с концентрацией 6 моль/л при температуре  $40^{\circ}C$  в течение 24 ч (реакция 8). После выделения максена

методом центрифугирования и промывки дистиллированной водой до значений pH около 6-7, его дисперсию в этаноле подвергали ультразвуковой обработке в течение 30 мин; порошок выделяли и сушили в вакууме при 150°C.



Образцы композитов ZnO-Ti<sub>2</sub>CT<sub>x</sub> с содержанием 1, 3 и 5 % мол. максена получали путем диспергирования навески максена в растворе прекурсора (моногидрата ацетилацетоната цинка в *n*-бутаноле) под действием ультразвука в течение 15 мин. Затем реакционную систему нагревали на масляной бане при 145±5°C в круглодонной колбе с обратным холодильником. Продолжительность сольвотермальной обработки составляла 6 ч. Выбранные условия термообработки соответствовали таковым для получения индивидуального ZnO в среде *n*-бутанола. Полученный осадок отделяли от маточного раствора центрифугированием (3500 об./мин, 30 мин), многократно промывали дистиллированной водой и раствором этилового спирта (95 об.%), а затем сушили до постоянной массы в вакууме при температуре 100°C.

**Глава 4** содержит подробное обсуждение результатов, полученных в ходе исследований, организованное по соответствующим разделам.

**Раздел 4.1** посвящен изучению влияния природы растворителя и условий синтеза на характеристики нанокристаллического оксида цинка, полученного в результате термической деструкции прекурсора [Zn(H<sub>2</sub>O)(O<sub>2</sub>C<sub>5</sub>H<sub>7</sub>)<sub>2</sub>] в среде различных спиртов (*n*-бутанола, изоамилового спирта и этиленгликоля) без дополнительного введения гидролизующих агентов.

В результате анализа результатов сольвотермального синтеза при атмосферном давлении нанодисперсного оксида цинка показаны различия в микроструктуре продуктов, полученных в одноатомных и многоатомных спиртах (рис. 1). В одноатомных спиртах (*n*-бутанол, изоамиловый спирт) при низких температурах формируются сферические частицы, а при высоких – стержневидные, склонные к агрегации. Для *n*-бутанола, по сравнению с изоамиловым спиртом, для образования стержневидной формы требуется

большее время термообработки. В этиленгликоле, как представителе многоатомных спиртов, микроструктура зависит от температуры: происходит переход от сферических агрегатов (~130 нм при 125 °C) к эллиптическим параболоидам и сферам, собранных из них (до 300 нм при 185 °C).

Все полученные образцы нанокристаллического ZnO демонстрируют повышенную чувствительность к NO<sub>2</sub> и CO. Так, для образца, полученного в среде *n*-бутанола, установлен максимальный отклик на 100 ppm CO при рабочей температуре 225°C (22.7) и на 100 ppm NO<sub>2</sub> при 125°C (18.8, рис. 2).

Эксперименты по детектированию 20 ppm NO<sub>2</sub> при рабочей температуре 125°C показали (рис. 3), что при повышении влажности газовой смеси до 75% наблюдается уменьшение величины отклика рецепторного материала, его падение составляет ~60%.

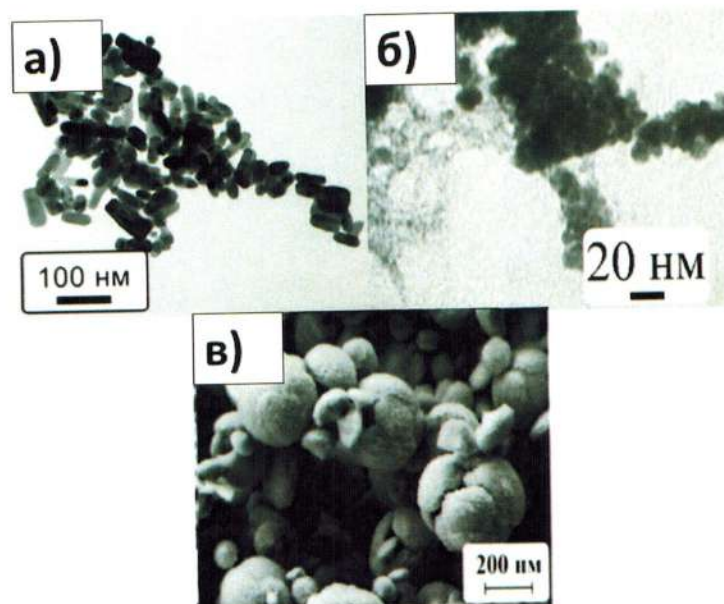


Рис. 1.

Микрофотографии образцов ZnO, синтезированных в среде *n*-бутанола (ПЭМ) (а), изоамилового спирта (ПЭМ) (б) и этиленгликоля (РЭМ)

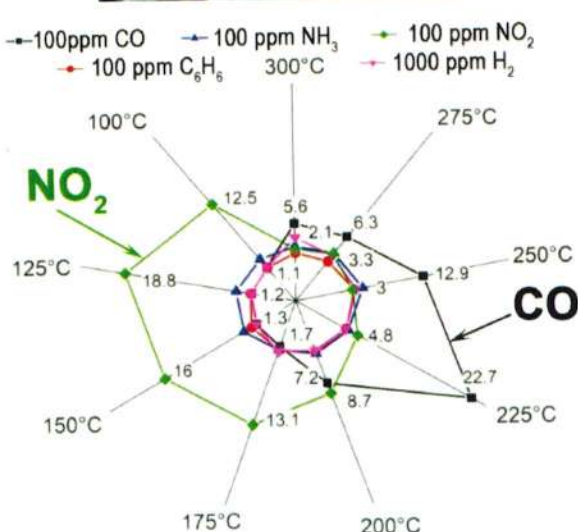


Рис. 2. Диаграмма селективности образца ZnO, полученного в среде *n*-бутанола (145°C, 6 ч) при рабочих температурах детектирования 100–300°C

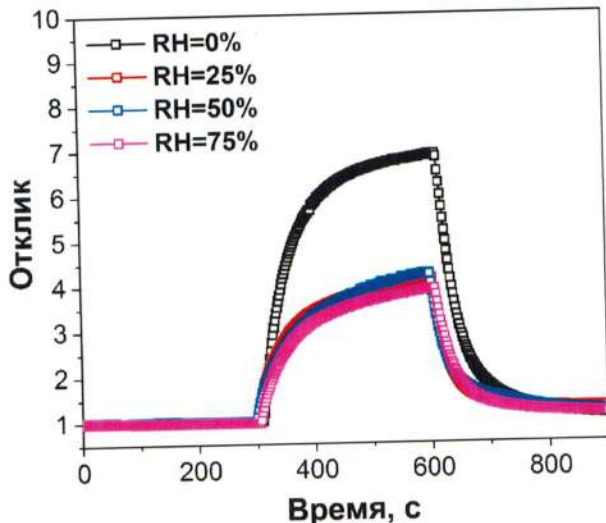


Рис. 3. Воспроизводимость сигнала при детектировании 20 ppm NO<sub>2</sub> при 125°C в атмосфере различной влажности (RH) для образца ZnO, синтезированного при 145°C в течение 6 ч в н-бутаноле

Для образцов, синтезированных в среде этиленгликоля, наблюдается также высокий отклик на низкие концентрации NO<sub>2</sub> и низкая чувствительность величины отклика к изменению влажности воздуха (рис.4), что перспективно для применения не только в модельных системах, но и в реальных условиях.

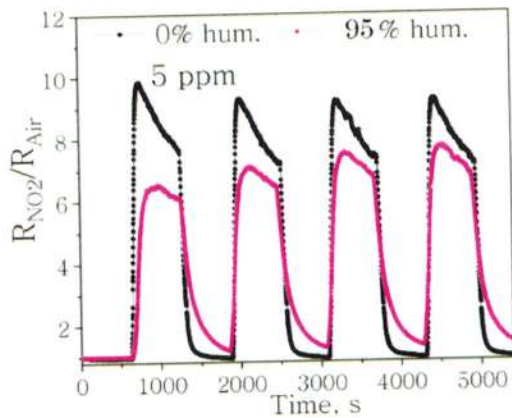


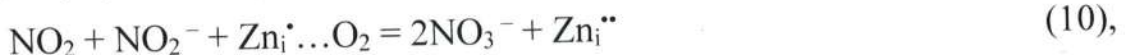
Рис. 4. Воспроизводимость откликов оксида цинка, синтезированного в среде этиленгликоля при температуре 165° в течение 6 ч, на 5 ppm NO<sub>2</sub> при влажности 0 и 95%, рабочая температура 200°C

Высокие отклики на диоксид азота для оксида цинка, вероятно, объясняются в первую очередь тем, что при средних рабочих температурах (125-200°C) возможно образование нитрат-ионов, что приводит к увеличению сопротивления материала. На первом этапе происходит образование монодентатного и бидентатного нитрит-иона, которое можно описать уравнением (9). Подробное изучение и объяснение взаимодействия молекул NO<sub>2</sub> с поверхностью ZnO с применением ИК-спектроскопии *in situ* представлено в работе [2].



где  $Zn_i$  представляет собой междуузельный атом цинка, а  $Zn_i^+$  – единичный электроположительный междуузельный атом цинка.

По мере протекания реакции количество нитритных частиц увеличивается очень медленно. Это может быть связано с превращением нитрита в нитрат кооперативным кислородом на участках цинка в результате реакции (10):



где  $Zn_i^{++}$  представляет собой двойной электроположительный междуузельный атом цинка.

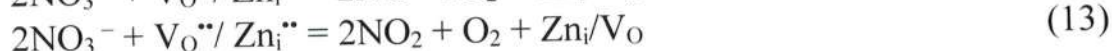
Возможный путь образования нитратных частиц также может заключаться в переносе электрона от донорного центра  $V_O^+$  к молекуле  $NO_2$  с одновременным повторным окислением кислородной вакансии, которое можно описать уравнением (11):



где  $V_O^{++}$  представляет собой двойную электроположительную кислородную вакансию.

Известно, что количество физически адсорбированного  $NO_2$  уменьшается с повышением температуры. Однако авторы [2] доказали, что при повышении температуры от комнатной до  $150^\circ C$ , количество основных нитратных форм достигает максимума. Тем не менее, при повышении температуры до  $200^\circ C$  наблюдается резкое падение количества сорбированного диоксида азота, а при еще более высоких температурах ( $250$  и  $300^\circ C$ ) наблюдается еще более слабая адсорбция. С одной стороны, образование различных видов адсорбированного  $NO_2$  происходит посредством переноса электрона от донорного центра, такого как  $V_O^+$ ,  $Zn_i$  или  $Zn_i^+$  к молекуле газа с одновременным повторным окислением кислородной вакансии или междуузельного цинка. С другой стороны, при увеличении температуры подвижность электронов увеличивается, и в результате большее количество электронов может преодолеть потенциальный барьер кристалла,

чтобы перейти к адсорбированной молекуле диоксида азота. Следовательно, количество доноров (т.е. центров чувствительности) увеличивается с ростом температуры. С другой стороны, когда температура непрерывно повышается, происходит процесс термического разложения основных адсорбированных нитратов на поверхности (уравнения 12 и 13), и активные центры получают электроны, чтобы вернуться к исходным условиям.



В результате анализа полученных данных о микроструктуре и сенсорных свойствах порошков ZnO, для изучения влияния модifikаторов (наночастицы оксидов церия, празеодима европия, Pt, Pd и максена Ti<sub>2</sub>CT<sub>x</sub>) был выбран ZnO, синтезированный из [Zn(H<sub>2</sub>O)(O<sub>2</sub>C<sub>5</sub>H<sub>7</sub>)<sub>2</sub>] в *n*-бутаноле при температуре 145°C.

**Раздел 4.2.1** охватывает синтез и изучение сенсорных свойств нанокристаллических композитов на основе ZnO, модифицированного наночастицами оксидов РЗМ (оксиды церия, празеодима и европия). Показано, что сольватермальный синтез при атмосферном давлении нанокомпозитов ZnO-LnO<sub>x</sub> (Ln = Ce, Pr, Eu; x = 1-5 % мол. LnO<sub>x</sub>) в *n*-бутаноле приводит к формированию образцов, незначительно отличающихся по микроструктуре от индивидуального ZnO. Данные РФА и АСМ (в режиме СЕМ) подтверждают образование не твердых растворов, а нанокомпозитов.

Изучение хемосенсорных свойств нанокомпозитов ZnO-LnO<sub>x</sub>, содержащих 1 % мол. LnO<sub>x</sub>, показали, что при модифицировании во всем исследованном интервале температур значительно снижается отклик на NO<sub>2</sub> (который был преобладающим для индивидуального ZnO), что улучшает селективность по отношению к CO (например, рис. 5).

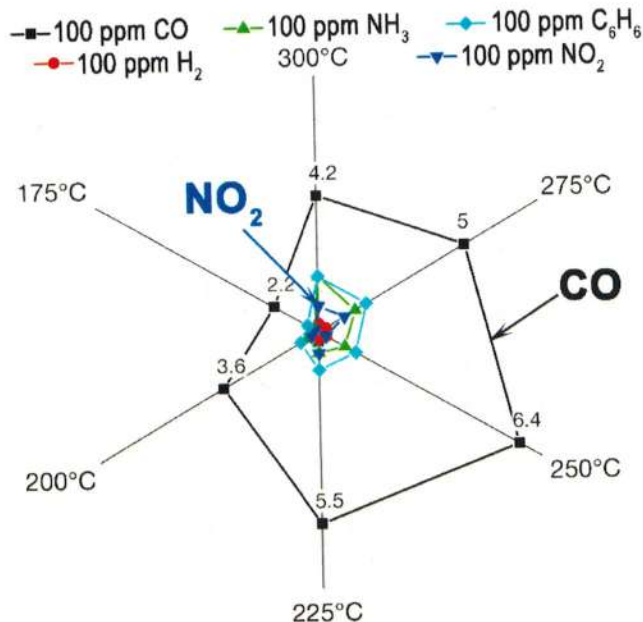


Рис. 5. Диаграмма селективности образца оксида цинка, модифицированного 1 % мол. CeO<sub>2</sub>, при рабочих температурах 175–300°C

Нанокомпозит, содержащий 1 % мол. CeO<sub>2</sub>, демонстрирует лучшие по сравнению с ZnO кинетические параметры при детектировании CO (4–100 ppm при 250°C) (рис. 6 а), хорошо воспроизводимый сигнал без дрейфа (в том числе, во влажной атмосфере) и снижение отклика на CO (10 ppm) при RH = 70% на ~20% (рис. 6 б).

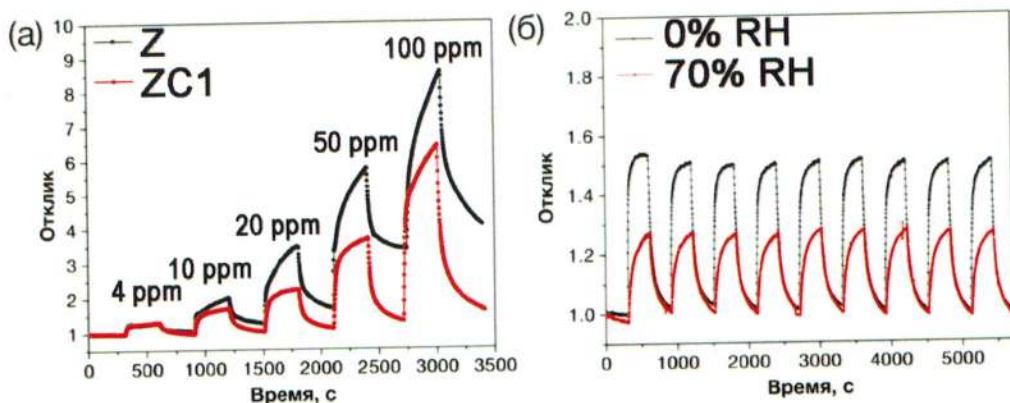


Рис. 6. Отклики на 4–100 ppm CO для образцов ZnO (Z) и ZnO-1 % мол. CeO<sub>2</sub> (ZC1) (а) и воспроизводимость сигнала образца ZnO-1 % мол. CeO<sub>2</sub> при детектировании 10 ppm CO в атмосфере различной влажности (RH) (б); рабочая температура – 250°C

Для образца ZnO, модифицированного оксидом празеодима, помимо прочего, установлен факт увеличения величины отклика образца на 20 ppm NO<sub>2</sub> (рабочая температура 125 °C) при повышении влажности газовой смеси с 0 до 75% (рис. 7).

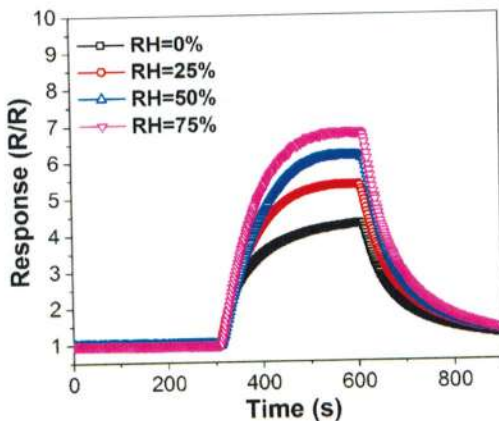


Рис. 7. Кинетический отклик образца ZnO, модифицированного 1 % мол. оксида празеодима, при детектировании 20 ppm NO<sub>2</sub> при 125°C, при различной влажности RH = 0-75%

Особенностью же нанокомпозита, модифицированного оксидом европия, является наблюдаемая наряду с высокой селективностью по отношению к CO (при рабочих температурах 200-300 °C) наибольшая среди всех изученных оксидов РЗЭ чувствительность к NO<sub>2</sub> с максимумом отклика при рабочей температуре 175 °C.

В разделе 4.2.2 обсуждаются результаты декорирования оксида цинка наночастицами платины и палладия с содержанием от 0.5 до 3 % мол. благородного металла. Показано, что тип растворителя (*n*-бутанол или этиленгликоль) при синтезе исходного ZnO значительно влияет на свойства получаемых нанокомпозитов ZnO-Pt. Показано, что при декорировании платиной образцов ZnO, полученных в *n*-бутаноле, наночастицы Pt локализуются преимущественно между агрегатами стержневидных частиц ZnO (рис. 8). При измерении сенсорных свойств отмечено повышение чувствительности к этанолу по мере повышения содержания модifikатора – рис. 9. При этом, для образца, содержащего 1 % мол. Pt, установлено снижение времен отклика и восстановления, т.е. улучшение кинетических характеристик.

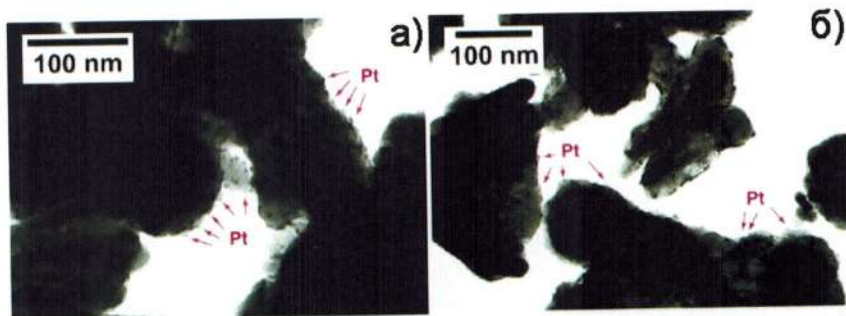


Рис. 8. ПЭМ-микрофотографии порошков ZnO-Pt, содержащих 0.5 % мол. Pt (а) и 3 % мол. Pt (б), синтез ZnO в среде *n*-бутанола

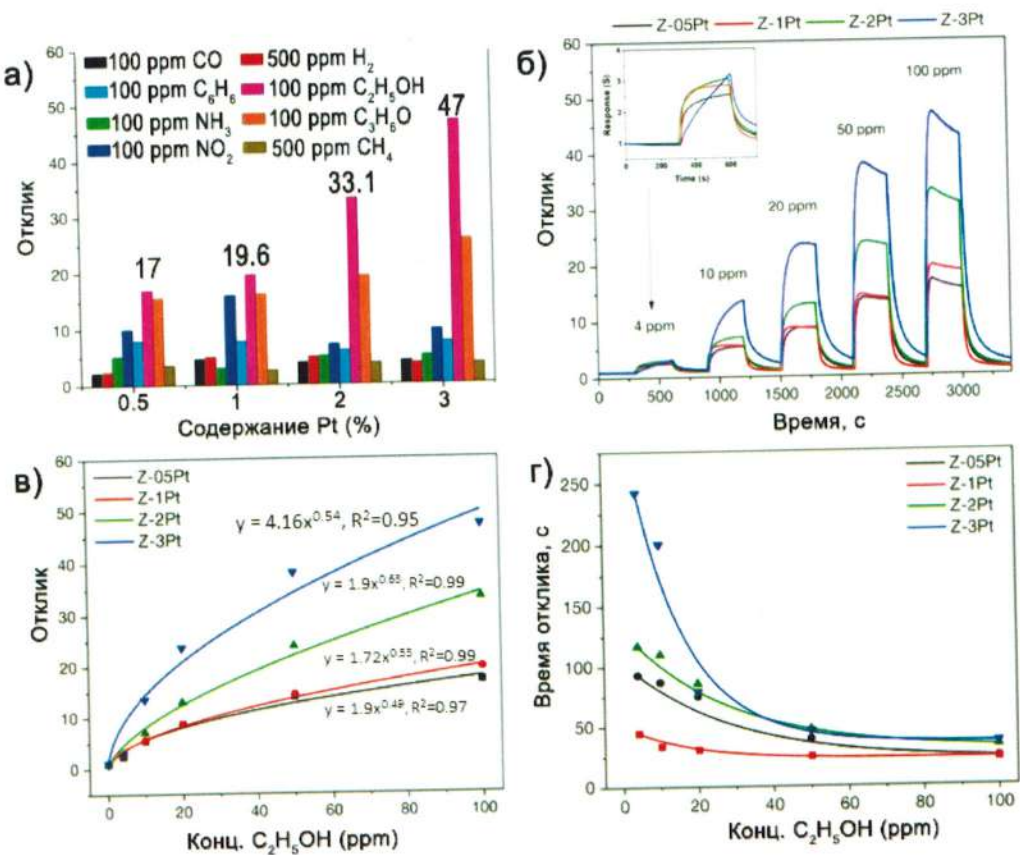


Рис. 9. Диаграмма селективности, составленная из откликов на 100 ppm CO, NH<sub>3</sub>, NO<sub>2</sub>, C<sub>6</sub>H<sub>6</sub>, C<sub>2</sub>H<sub>5</sub>OH, C<sub>3</sub>H<sub>6</sub>O и 500 ppm CH<sub>4</sub>, H<sub>2</sub> (а); отклик на 4–100 ppm C<sub>2</sub>H<sub>5</sub>OH (б); зависимости отклика (в) и времени отклика (г) от концентрации C<sub>2</sub>H<sub>5</sub>OH для образцов ZnO-0.5 % мол. Pt (ZPt0.5), ZnO-1 % мол. Pt (ZPt1), ZnO-2 % мол. Pt (ZPt2) и ZnO-3 % мол. Pt (ZPt3); рабочая температура составляет 225°C

Нанокомпозиты ZnO-Pt, для которых оксид цинка получен в среде этиленгликоля, имеют сферическую форму (рис 10) и проявляет высокую чувствительность к бензолу (4–100 ppm) и водороду (100–1600 ppm).

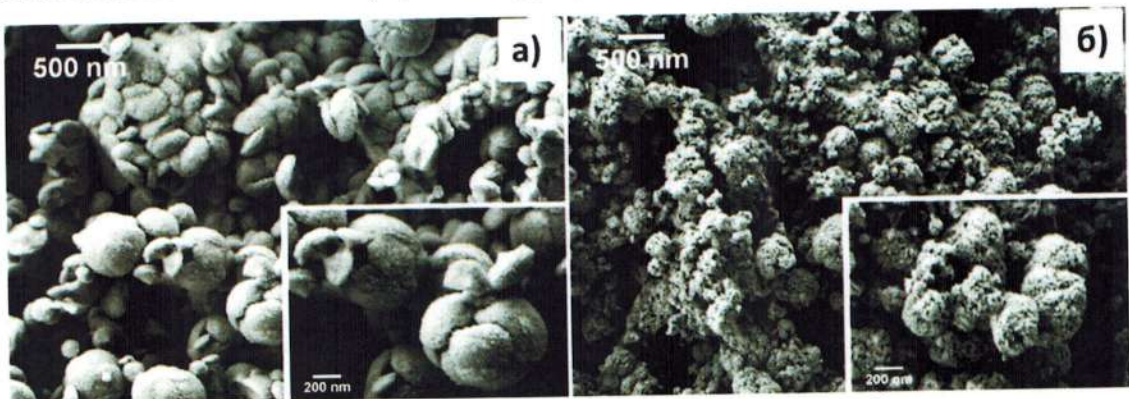


Рис. 10. РЭМ-микрофотографии порошков ZnO-Pt с врезками на большем увеличении: ZnO (а), ZnO-0.5 % мол. Pt (б)

При декорировании ZnO наночастицами палладия (0.5-3 % мол. Pd) происходит частичное окисление последнего. Комплексом методов физико-

химического анализа (рис. 11) установлено, что наночастицы палладия имеют структуру близкую к ядро@оболочка, в которой ядро – металлический палладий, а оболочка – оксид палладия ( $\text{PdO}$ ).

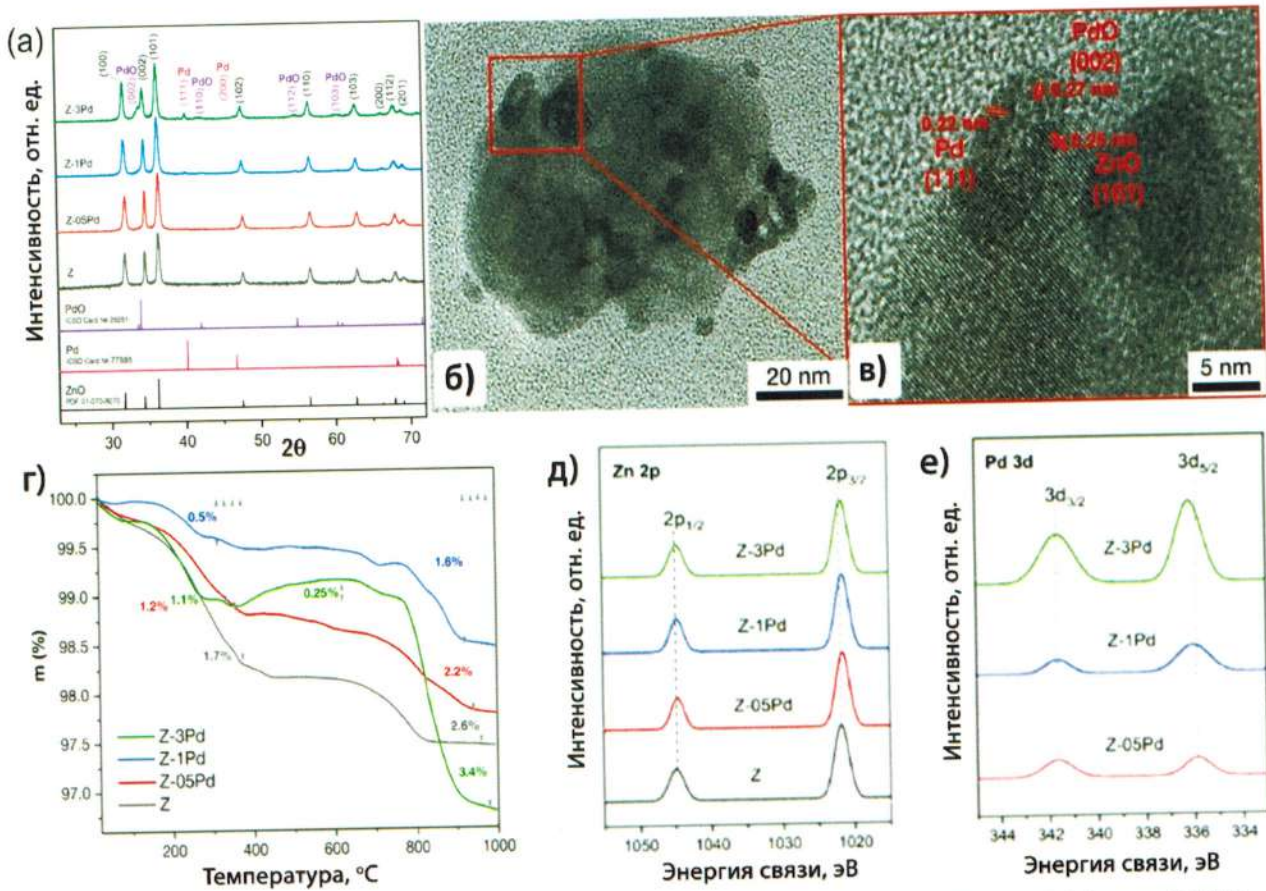


Рис. 11. Рентгенограммы порошков  $\text{ZnO-Pd}$  для образцов  $\text{ZnO}$  ( $\text{Z}$ ),  $\text{ZnO-0.5 \%}$  мол.  $\text{Pd}$  ( $\text{Z-05Pd}$ ),  $\text{ZnO-1 \%}$  мол.  $\text{Pt}$  ( $\text{Z-1Pd}$ ) и  $\text{ZnO-3 \%}$  мол.  $\text{Pt}$  ( $\text{Z-3Pd}$ ) (а) и микрофотографии ПЭМ высокого разрешения (б-в) для образца  $\text{ZnO-0.5 \%}$  мол.  $\text{Pd}$  ( $\text{Z-05Pd}$ ), кривые ТГА (г) и РФЭС нанокомпозитов  $\text{ZnO-Pd}$

Для рецепторных слоев  $\text{ZnO-Pd}$  установлено, что наибольший отклик на ацетон наблюдался при рабочей температуре  $250^\circ\text{C}$  для образцов **Zn-1Pd** и **Zn-3Pd**, а для **Zn-05Pd** при  $300^\circ\text{C}$ . При рабочей температуре  $250^\circ\text{C}$  отмечена также повышенная чувствительность и к этанолу.

Полученные высокие значения отклика на ацетон позволили изучить чувствительность покрытий  $\text{ZnO-Pd}$  к низким концентрациям ацетона (<1 ppm). Показано, что для образцов свойственен очень низкий предел обнаружения 100 ppb (рис. 12, температура детектирования  $250^\circ\text{C}$ ), что перспективно для неинвазивной диагностики заболеваний.

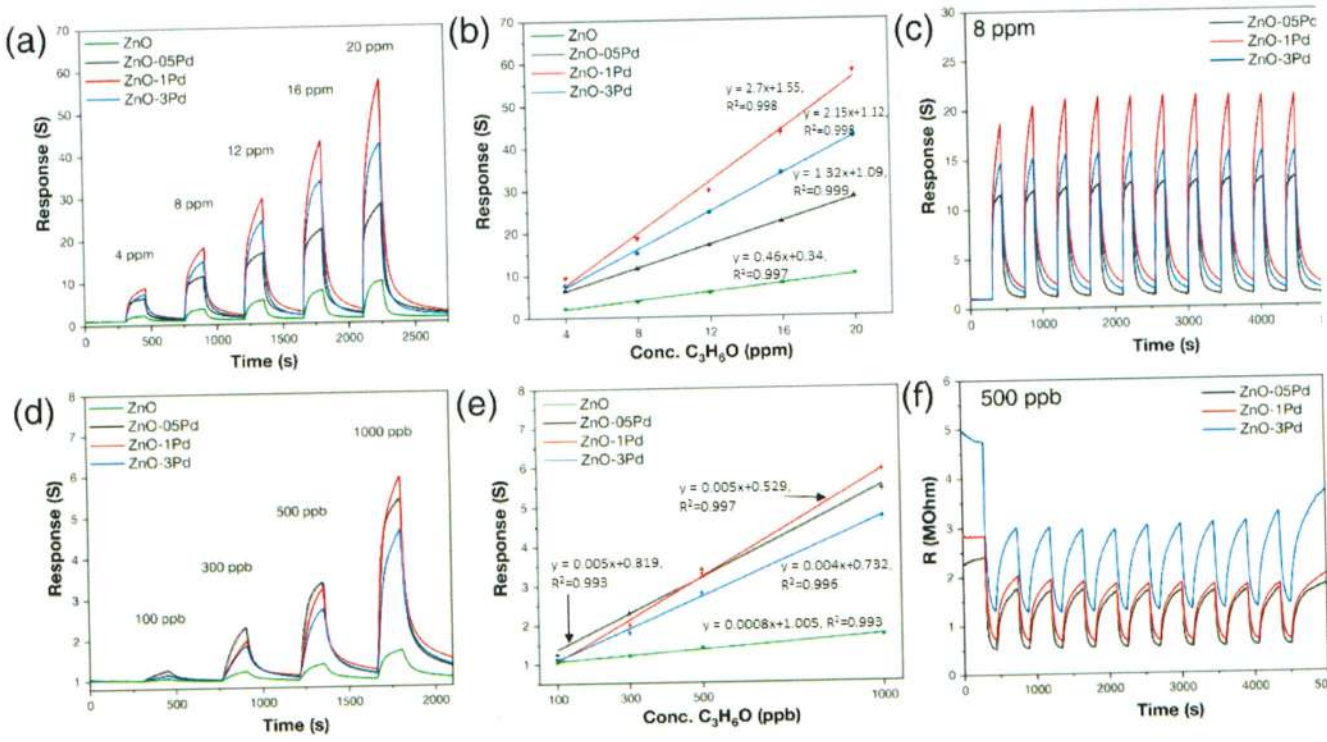
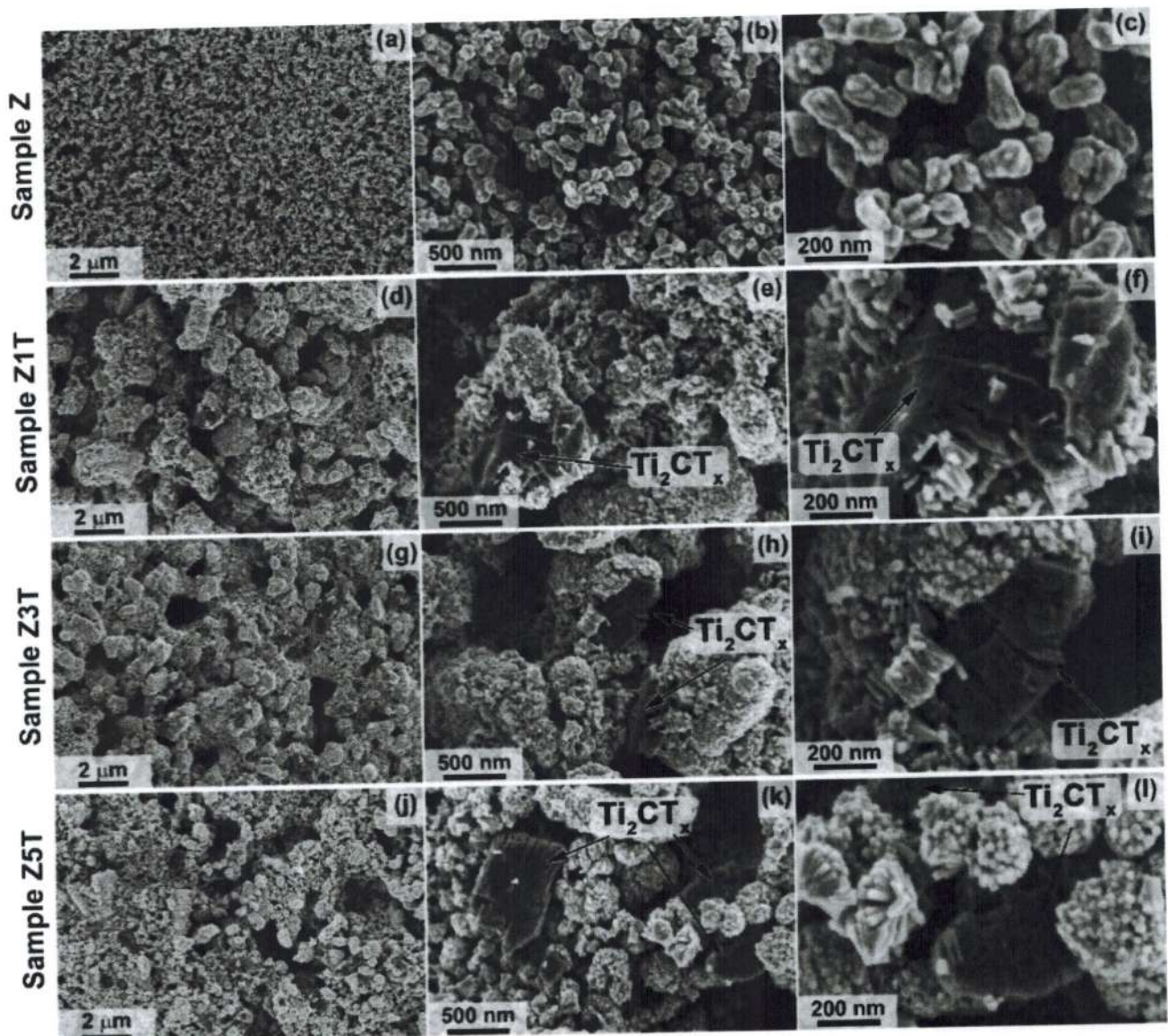


Рис. 12. Хемосенсорные свойства покрытий ZnO-Pd при детектировании ацетона при 250°C: отклики на 4-20 ppm (а), зависимость отклика от концентрации ацетона в ppm-диапазоне ацетона (б), воспроизводимость отклика при детектировании 8 ppm ацетона (с), отклики на 100-1000 ppb ацетона (д), зависимость отклика от концентрации ацетона в ppb-диапазоне ацетона (е) и воспроизводимость сигнала при детектировании 500 ppb ацетона (ф)

В разделе 4.2.3 обсуждаются результаты синтеза нанокомпозитов оксида цинка с 1, 3, 5 % мол. аккордеоноподобного максена  $Ti_2CT_x$  методом сольватермального синтеза при атмосферном давлении. Установлено, что добавление порошка максена в процессе синтеза приводит к образованию агрегатов ZnO с более пористой структурой по сравнению с индивидуальным ZnO (рис. 13). Вероятно, это связано с тем, что рост зарождения частиц ZnO на пористой поверхности максена ограничивает их консолидацию.

Исследование хеморезистивных свойств полученных образцов при температуре детектирования 200°C для наиболее практически востребованных анализируемых газов (взрывчатых, токсичных неорганических соединений и ЛОС) выявило чрезвычайно высокую чувствительность всех материалов к  $NO_2$  (рис. 14). При этом селективность возрастила с увеличением содержания максена: отношение значения отклика

на 4 ppm  $\text{NO}_2$  ко второму по величине значению отклика (при 100 ppm ацетона/этанола) увеличилось с 1.6 (ZnO) до 20.5 (образец Z5T) (рис. 14б).



*Рис. 13.* Микроструктура рецепторных слоев образцов ZnO (Z) (a-c), ZnO-1 % мол.  $\text{Ti}_2\text{CT}_x$  (Z1T) (d-f), ZnO-3 % мол.  $\text{Ti}_2\text{CT}_x$  (Z3T) (g-i) и ZnO-5 % мол.  $\text{Ti}_2\text{CT}_x$  (Z5T) (j-l), определенная методом РЭМ.

Помимо высокой селективности с увеличением содержания максена в порошке композита чувствительность к  $\text{NO}_2$  увеличивалась во всем диапазоне исследованных концентраций (4-20 ppm) (рис. 15).

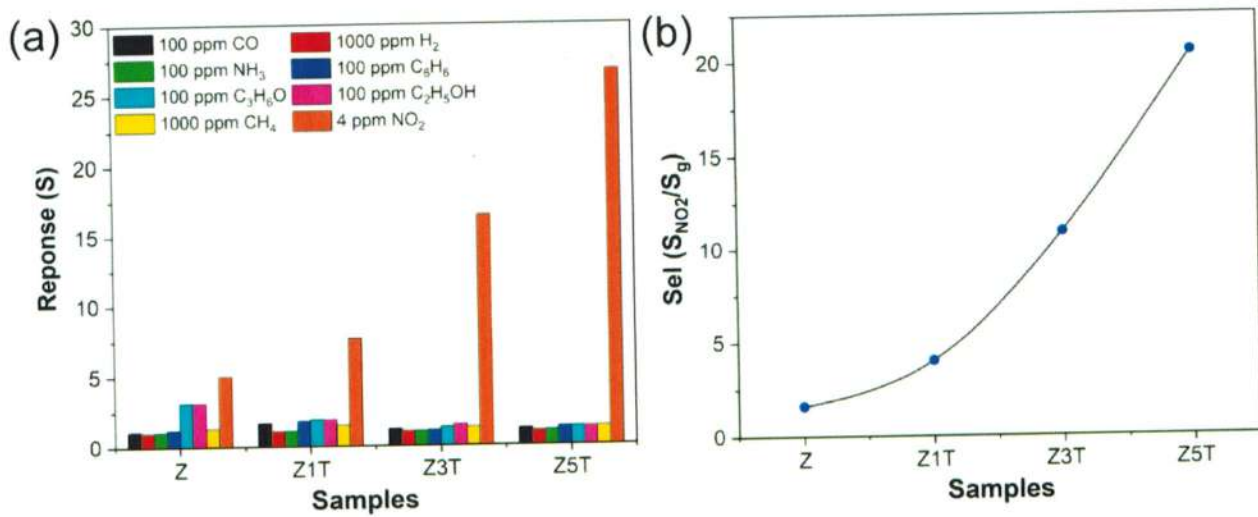


Рис. 14. Гистограмма селективности, построенная по откликам на различные газы (H<sub>2</sub>, CH<sub>4</sub>, CO, C<sub>6</sub>H<sub>6</sub>, NH<sub>3</sub>, этанол, ацетон и NO<sub>2</sub>) (а) и зависимость коэффициента селективности (Sel) рецепторных слоев образцов Z, Z1T, Z3T и Z5T (б); рабочая температура 200°C

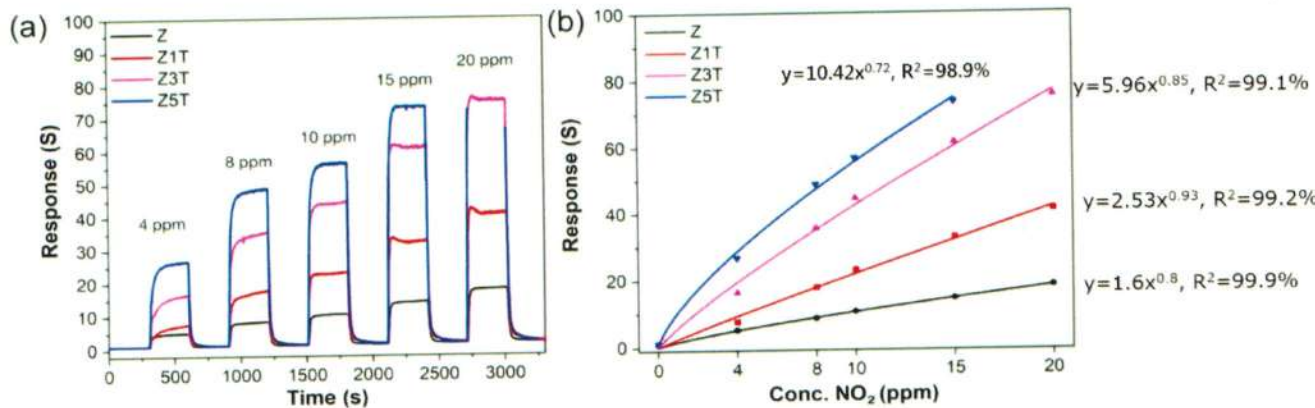


Рис. 15. Чувствительность покрытий ZnO-Ti<sub>2</sub>CT<sub>x</sub> к 4-20 ppm NO<sub>2</sub> (а) и отклик в зависимости от концентрации максена (б) при температуре детектирования 200°C

Например, значение отклика увеличилось на 4 ppm NO<sub>2</sub> с 5 (для ZnO) до 26.7 (для образца, содержащего 5 % мол. Ti<sub>2</sub>CT<sub>x</sub>). Это можно объяснить совокупным действием нескольких факторов, включая формирование барьера Шоттки на границе раздела между компонентами и увеличением удельной поверхности композиционных материалов, что приводит к увеличению числа адсорбционных центров и скорости диффузии аналита.

## **ВЫВОДЫ**

1. Показано, что синтез нанодисперсного оксида цинка путем термической обработки раствора  $[Zn(H_2O)(C_5H_7O_2)_2]$  в спиртах (*n*-бутанол, изоамиловый спирт, этиленгликоль) без добавления дополнительного гидролизующего агента позволяет создавать нанокомпозиты на основе ZnO, модифицированные высокодисперсными оксидами церия, празеодима, европия, наночастицами платины, палладия и многослойного максена  $Ti_2CT_x$ . Выявлено влияние на хеморезистивные свойства микроструктуры ZnO, природы и содержания введенных модификаторов. Определены закономерности, связывающие величину откликов на различные газы-аналиты с температурой детектирования и концентрацией анализаторов.

2. Показано, что для впервые полученного нанокомпозита на основе ZnO, модифицированного 1-5 % мол.  $Ti_2CT_x$ , характерны высокие чувствительность и селективность по отношению к  $NO_2$  (рабочая температура 200°C): отклик на 4 ppm  $NO_2$  увеличивается с 5 (ZnO) до 26.7 (ZnO-5 % мол.  $Ti_2CT_x$ ), а отношение отклика  $NO_2$  к отклику на ацетон/этанол – с 1.6 (ZnO) до 20.5 (5 % мол.  $Ti_2CT_x$ ).

3. Выявлено, что для полученных образцов индивидуального ZnO характерны высокие хеморезистивные отклики на  $NO_2$  (при рабочих температурах 125-200 °C) и CO (200-275 °C). Отмечено, что для рецепторных слоев ZnO, синтезированных в среде этиленгликоля, наблюдается пониженная чувствительность к изменению влажности газового потока по сравнению с продуктами, полученными в среде одноатомных спиртов.

4. Показано, что при модификации ZnO высокодисперсными оксидами церия, празеодима и европия (1-5 % мол.  $LnO_x$ ) наблюдается снижение чувствительности по отношению к  $NO_2$  и происходит улучшение кинетических характеристик. Для материала ZnO, модифицированного оксидом празеодима, выявлен рост значения отклика на  $NO_2$  при повышении влажности газовой смеси до 75%.

5. Установлено, что декорирование ZnO, синтезированного в среде *n*-бутанола, наночастицами платины (0.5–3 % мол.) приводит к улучшению чувствительности к этанолу (для 3 % мол. Pt отклик на 100 ppm составил 47.1 при рабочей температуре 225 °C). Показано, что декорирование ZnO наночастицами поверхностью окисленного палладия приводит к увеличению отклика на ацетон с пределом обнаружения 100 ppb (при температуре детектирования 250 °C). Наибольший отклик на ацетон наблюдался для нанокомпозита ZnO-1 % мол. Pd (S~60 на 20 ppm ацетона).

#### **Основные публикации по теме диссертации:**

1. Mokrushin A.S., Nagornov I.A., Simonenko T.L., Simonenko N.P., Gorobtsov Ph.Yu., Khamova T.V., Kopitsa G.P., Evzrezov A.N., Simonenko E.P., Sevastyanov V.G., Kuznetsov N.T., Chemoresistive gas-sensitive ZnO/Pt nanocomposites films applied by microplotter printing with increased sensitivity to benzene and hydrogen, **Materials Science and Engineering: B**, 2021, Vol. 271, 115233, DOI: 10.1016/j.mseb.2021.115233
2. **Нагорнов И.А.**, Мокрушин А.С., Симоненко Е.П., Симоненко Н.П., Севастьянов В.Г., Кузнецов Н.Т., Жидкофазное выращивание тонких пленок нанокристаллического ZnO и их газочувствительные свойства, **Журнал неорганической химии**, 2022, Т. 67, № 4, С. 523-530, DOI: 10.31857/S0044457X22040146  
**Nagornov I.A.**, Mokrushin A.S., Simonenko E.P., Simonenko N.P., Sevastyanov V.G., Kuznetsov N.T. Liquid-phase growth of nanocrystalline ZnO thin films and their gas-sensitive properties, **Russian Journal of Inorganic Chemistry**, 2022, 67. № 4, 539-546, DOI: 10.1134/S0036023622040143
3. Симоненко Е.П., Симоненко Н.П., **Нагорнов И.А.**, Симоненко Т.Л., Горобцов Ф.Ю., Мокрушин А.С., Кузнецов Н.Т., Синтез и хеморезистивные свойства однослоиного максена Ti<sub>2</sub>CT<sub>x</sub>, **Журнал неорганической химии**, 2022, Т. 67, № 11, С. 1653-1663, DOI: 10.31857/S0044457X22600992  
E.P. Simonenko, N.P. Simonenko, **I.A. Nagornov**, T. L. Simonenko, Ph. Yu. Gorobtsov, A. S. Mokrushin, N.T. Kuznetsov Synthesis and Chemoresistive

Properties of Single-Layer MXene  $Ti_2CT_x$ , **Russian Journal of Inorganic Chemistry**, 2022, 67, 1838–1847, DOI: 10.1134/S0036023622601222

4. Mokrushin A.S., **Nagornov I.A.**, Simonenko T.L., Simonenko N.P., Gorobtsov Ph.Yu., Arkhipushkin I.A., Simonenko E.P., Sevastyanov V.G., Kuznetsov N.T. Gas-sensitive nanostructured ZnO films praseodymium and europium doped: Electrical conductivity, selectivity, influence of UV irradiation and humidity, **Applied Surface Science**, 2022, 589, 152974, DOI: 10.1016/j.apsusc.2022.152974

5. Mokrushin A.S., **Nagornov I.A.**, Gorban Y.M., Simonenko T.L., Simonenko N.P., Arkhipushkin I.A., Simonenko E.P., Kuznetsov N.T. Effect of platinum nanoparticles on the chemoresistive gas sensitive properties of the ZnO/Pt composite, **Ceramics International**, 2023, Vol. 49 (11), Part A, 17600-17610, DOI: 10.1016/j.ceramint.2023.02.126

6. Mokrushin A.S., **Nagornov I.A.**, Gorobtsov Ph.Yu., Averin A.A., Simonenko T.L., Simonenko N.P., Simonenko E.P., Kuznetsov N.T. Effect of  $Ti_2CT_x$  MXene Oxidation on Its Gas-Sensitive Properties, **Chemosensors**, 2023, Vol. 11, 1-18, DOI: 10.3390/chemosensors11010013

7. Simonenko E.P., **Nagornov I.A.**, Mokrushin A.S., Averin A.A., Gorban Y.M., Simonenko T.L., Simonenko N.P., Kuznetsov N.T. Gas-Sensitive Properties of ZnO/ $Ti_2CT_x$  Nanocomposites, **Micromachines**, 2023, Vol. 14, 725, DOI: 10.3390/mi14040725

8. Симоненко Е.П., **Нагорнов И.А.**, Мокрушин А.С., Сапронова В.М., Горобцов Ф.Ю., Симоненко Н.П., Кузнецов Н.Т., Синтез  $Ti_2AlC$  в расплаве KBr: влияние температуры и соотношения компонентов, **Журнал неорганической химии**, 2024, Т. 69, № 11, С. 2284–2295, DOI: 10.31857/S0044457X24110128

E. P. Simonenko, **I. A. Nagornov**, A. S. Mokrushin, V. M. Sapronova, Ph. Yu. Gorobtsov, N. P. Simonenko, N. T. Kuznetsov. Synthesis of  $Ti_2AlC$  in KBr melt: effect of temperature and component ratio, **Russian Journal of Inorganic Chemistry**, 2024, 69, № 11, 1744–1753, DOI: 10.1134/S0036023624602617

9. Мокрушин А.С., Дмитриева С.А., **Нагорнов И.А.**, Симоненко Н.П., Воробей А.М., Аверин А.А., Симоненко Е.П., Синтез высокоэлектропроводящих нанокомпозитов ZnO/УНТ с хеморезистивным откликом при комнатной температуре, **Журнал неорганической химии**, 2024, 69, № 12, 1872-1881, DOI: 10.31857/S0044457X24120195

Mokrushin A.S., Dmitrieva S.A., **Nagornov I.A.**, Simonenko N.P., Vorobei A.M., Averin A.A., Simonenko E.P., Synthesis of high electroconductive ZnO/CNT nanocomposites with chemoresistive response at room temperature, **Russian Journal of Inorganic Chemistry**, 2024, V. 69, No. 12, P. 1836–1843, DOI: 10.1134/S0036023624602782

10. Mokrushin A.S., **Nagornov I.A.**, Gorban Y.M., Dmitrieva S.A., Simonenko T.L., Simonenko N.P., Doronina M.S., Vakhitov I.R., Nikitenko M.S., Khudonogov D.Yu., Vershinina O.V., Simonenko E.P. Synthesis of Pd-decorated ZnO nanocomposites with improved gas-sensitive properties for acetone detection, **Journal of Alloys and Compounds**, 2024, Vol. 25, p. 176856, DOI: 10.1016/j.jallcom.2024.176856

11. **Нагорнов И.А.**, А.С. Мокрушин, Е.П. Симоненко, Н.П. Симоненко, В.Г. Севастьянов, Н.Т. Кузнецов. Синтез нанокомпозитов состава  $(\text{ZnO})_{0.99}(\text{Ln}_2\text{O}_3)_{0.01}$  ( $\text{Ln}=\text{Ce}^{3+/4+}$ ,  $\text{Pr}^{3+}$ ,  $\text{Eu}^{3+}$ ) для чувствительных слоёв хеморезистивных газовых сенсоров // Второй международный симпозиум «Химия для биологии, медицины, экологии и сельского хозяйства: Сборник тезисов докладов», Санкт-Петербург, 2021. С. 131.

12. **Нагорнов И.А.**, Мокрушин А.С., Симоненко Е.П., Симоненко Н.П., Симоненко Т.Л., Севастьянов В.Г., Кузнецов Н.Т. Нанокомпозиты ZnO/Pt с высокой чувствительностью к  $\text{NH}_3$  // XII Конференция молодых ученых по общей и неорганической химии: Тезисы докладов конференции. Москва, 2022. С. 139.

13. **Нагорнов И.А.**, Мокрушин А.С., Симоненко Е.П., Симоненко Н.П., Симоненко Т.Л., Кузнецов Н.Т. Влияние на хеморезистивные характеристики ZnO допирования многослойным максеном  $\text{Ti}_2\text{CT}_x$  // XIII Конференция молодых ученых по общей и неорганической химии: Тезисы докладов конференции. Москва, 2022. С. 51.

14. **Нагорнов И.А.**, Симоненко Е.П., Мокрушин А.С., Симоненко Н.П., Симоненко Т.Л., Кузнецов Н.Т. Влияние модификации максена  $\text{Ti}_2\text{CT}_x$  наночастицами ZnO на газочувствительные свойства // Седьмая международная конференция стран СНГ золь-гель синтез и исследование неорганических соединений, гибридных функциональных материалов и дисперсных систем «ЗОЛЬ-ГЕЛЬ 2023», Москва, 2023. С. 54.

15. **Нагорнов И.А.**, Сапронова В.М., Симоненко Н.П., Мокрушин А.С., Симоненко Е.П. Влияние условий синтеза на фазовый состав MAX-фазы

Ti<sub>2</sub>AlC // XIV Конференция молодых ученых по общей и неорганической химии: Тезисы докладов конференции. Москва, 2024. С. 45.

16. **Нагорнов И.А.**, Сапронова В.М., Симоненко Н.П., Мокрушин А.С., Симоненко Е.П. Нагорнов И.А., Мокрушин А.С., Симоненко Н.П., Симоненко Т.Л., Симоненко Е.П. // XV Конференция молодых ученых по общей и неорганической химии: Тезисы докладов конференции. Москва, 2025. С. 49.

**Список цитируемой литературы:**

- [1] J. Qi, L. Jiang, M. Jing, Q. Tang, G. Sun, Preparation of Pt/C via a polyol process – Investigation on carbon support adding sequence, Int. J. Hydrogen Energy 36 (2011) 10490–10501.  
<https://doi.org/10.1016/j.ijhydene.2011.06.022>.
- [2] M. Chen, Z. Wang, D. Han, F. Gu, G. Guo, Porous ZnO Polygonal Nanoflakes: Synthesis, Use in High-Sensitivity NO<sub>2</sub> Gas Sensor, and Proposed Mechanism of Gas Sensing, J. Phys. Chem. C 115 (2011) 12763–12773. <https://doi.org/10.1021/jp201816d>.